

نوع کانی‌سازی و بررسی میانبارهای سیال ذخیره مس بلبلی ۲ در شمال‌شرق سیرجان، جنوب‌شرق ایران

محمد صالحی تینونی^۱، علی عابدینی^{*}، علی اصغر کلاگری^۲

۱- گروه زمین‌شناسی، دانشکده علوم، دانشگاه ارومیه، ارومیه، ایران

۲- گروه علوم زمین، دانشکده علوم طبیعی، دانشگاه تبریز، تبریز، ایران

(دریافت مقاله: ۹۸/۲/۲۱، نسخه نهایی: ۹۸/۶/۲۳)

چکیده: ذخیره مس بلبلی ۲ در ۱۱۰ کیلومتری جنوب‌غرب کرمان و در کمربند فلزایی دهچ- ساردوئیه (کمان ماقمایی سنوزوئیک کرمان) واقع است. این ذخیره توسط سنگ‌های آذرین خروجی ائوسن (توف، جوش آتشفشاری، آندزیت و داسیت) و توده آذرین درونی الیگو- میوسن (گرانودیوریت) میزبانی می‌شود. این سنگ‌ها میزبان پهنه‌های دگرسانی پروفیلیتی، فیلیکی، سیلیسی و کربناتی (برآمده از سیال‌های کانی‌ساز) هستند. در این سنگ‌ها، کانی‌سازی درونزاد غالب بوده و بیشتر به صورت رگه- رگچه‌ای داربستی و انتشاری (کالکوپیریت، پیریت و مگنتیت) رخ داده است. این کانی‌سازی توسط انباسته‌های برونزاد چون هماتیت، گوتیت، مالاکیت، و آزوریت در بخش سطحی ذخیره پوشیده شده است. کانی‌های درونزاد اغلب بافت‌های رگه- رگچه‌ای داربستی، برشی، دانه‌ای و قشرگون را نشان می‌دهند. ریزدماسنجی در بلورهای کوارتز همزاد با کانی‌سازی چهار نوع میانبار سیال دو فازی مایع- گاز غنی از مایع (L-V)، دوفازی گاز- مایع غنی از گاز (L-V-S)، سه فازی مایع- گاز- جامد (V-L) و تک فازی گازی (V) را نشان می‌دهد. میانبارهای سیال مورد مورد بررسی دارای گستره دمای همگن شدگی ۴۲۷- ۴۹۰ درجه سانتی‌گراد هستند. میانبارهای سیال S- L-V با محظوظ نمک طعام در گستره دمایی ۲۱۳ تا ۴۲۵ درجه سانتی‌گراد متناظر با شوری‌های در گستره ۳۲- ۵۰ درصد وزنی نمک طعام همگن می‌شوند. میانبارهای دوفازی غنی از مایع (L-V) شوری‌هایی در گستره ۱۰- ۰۶ درصد وزنی معادل نمک طعام را نشان می‌دهند. بر پایه داده‌های ریزدماسنجی، جوشش، آمیختگی و سرد شدن ساده سیال‌های کانی‌ساز سازوکارهای مؤثر در تشکیل و گسترش این ذخیره به شمار می‌روند. سیال‌های کانسارساز به احتمال بسیار دارای خاستگاه ماقمایی و ماقمایی- جوی بوده‌اند. جایگاه زمین‌ساختی، ویژگی- های بافتی و ساختی، انباسته‌های کانی‌ای دگرسانی و کانی‌زایی و داده‌های ریزدماسنجی رده‌بندی کانسنگ‌های بلبلی ۲ به عنوان ذخیره مس نوع پورفیری را تأیید می‌کنند.

واژه‌های کلیدی: دهچ- ساردوئیه؛ کانی‌سازی؛ بافت؛ دگرسانی؛ میانبارهای سیال؛ مس پورفیری.

و ریوداسیت) ائوسن تا الیگومن با میان لایه‌های رسوبی به همراه سنگ‌های آذرین درونی (گرانودیوریت، گرانیت، دیوریت، کوارتزدیوریت و کوارتز‌مونزونیت) ائوسن میانی تا الیگومن- میوسن مهمترین واحدهای سنگی حاضر در این کمربند هستند [۲، ۳]. دگرسانی‌های سریسیتی، آرژیلیک، اپیدوتی، پتاسیکی و پروفیلیتی همراه با اسکارنی شدن در سنگ‌های

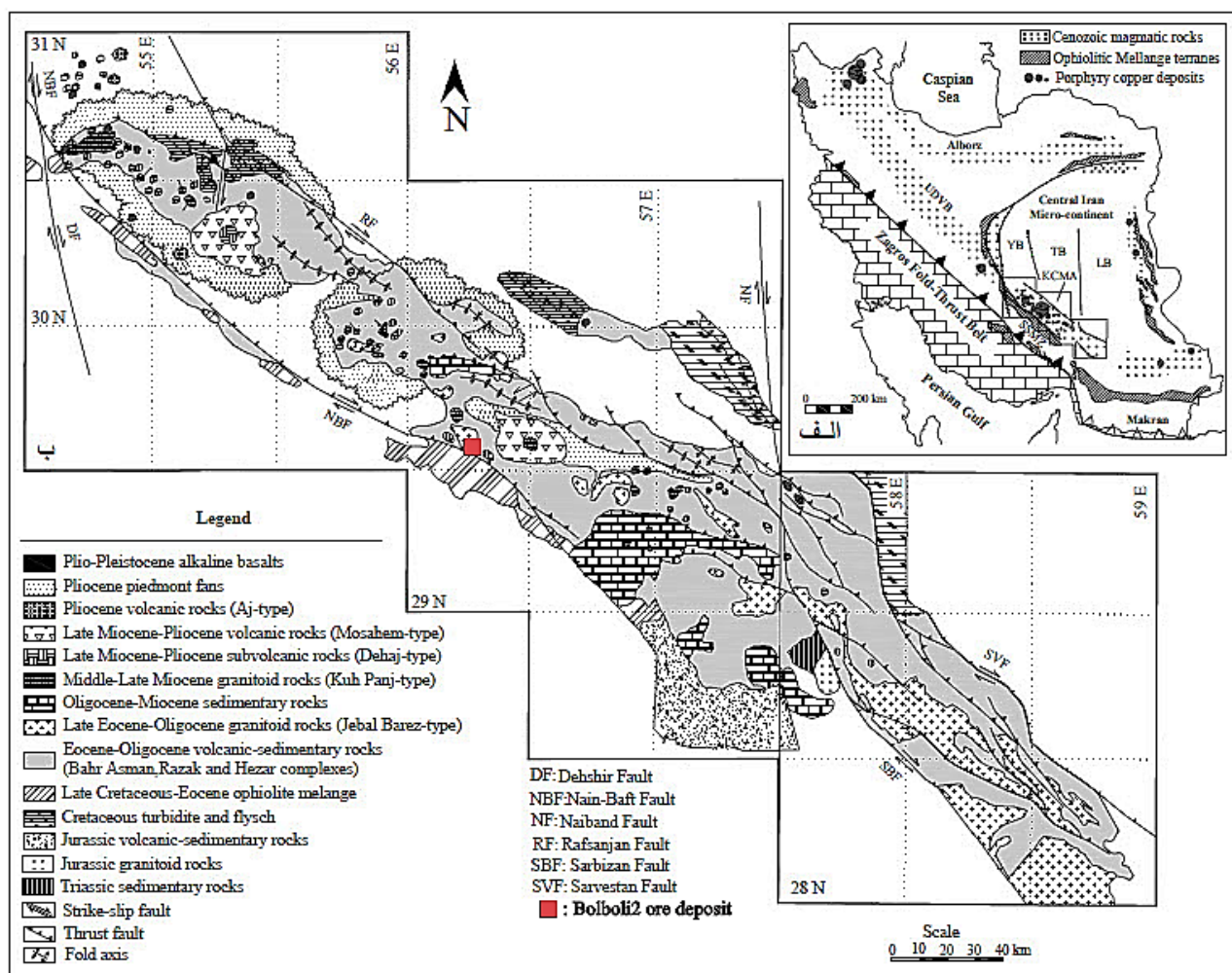
مقدمه
کمربند فلزایی دهچ- ساردوئیه (کمان ماقمایی سنوزوئیک کرمان) با دارا بودن بیش از ۲۰۰ اثر کانی‌سازی مس (به صورت پورفیری و رگه‌ای) غنی‌ترین بخش قوس آتشفشاری- نفوذی پهنه ارومیه- دختر به شمار می‌رود (شکل ۱). سنگ‌های آتشفشاری (باالت، تراکی‌باالت، آندزیت، تراکی‌آندزیت، داسیت

*نویسنده مسئول، تلفن: ۰۴۴۳۲۹۷۲۱۳۴، نامبر: ۰۴۴۳۲۷۷۶۷۰۷، پست الکترونیکی: abedini2020@yahoo.com

[۷]. ذخیره بلبلی ۲ در فاصله ۷۰ کیلومتری شمال شرق سیرجان (جنوب غرب کرمان) واقع بوده و در سال‌های اخیر توسط شرکت معدنی چهارگنبد [۹] مورد اکتشافات اولیه قرار گرفته است. تاکنون، بررسی دقیق و جامعی از دیدگاه زمین‌شناسی اقتصادی بر ذخیره بلبلی ۲ انجام نشده است. در این پژوهش، با استفاده از مشاهدات صحرایی، دگرسانی، کانه‌نگاری و بررسی میانبارهای سیال در کانی کوارتز همزاد با کانی‌سازی سولفیدی، اطلاعات جامعی از نوع و روند کانی‌سازی و ویژگی‌های فیزیکو-شیمیایی سیال‌های گرمایی مسؤول کانه‌زایی به دست آمده است.

کربناتی، اغلب در ارتباط با سنگ‌های آذرین دیده می‌شوند [۴]. وجود پهنه‌های اکسیدی هماتیتی، گوتیتی و جاروسیتی از ویژگی‌هایی بی مانند این کمربند فلززایی به شمار می‌رود [۵، ۶]. ذخیر پورفیری سرجشمه رفسنجان، میدوک شهر باک [۱]، دره‌زار رفسنجان، دره‌آلو بردسیر- رابر [۷] و تخت‌گنبد سیرجان [۸] از جمله ذخایر مس و مس- مولیبدن شناسایی شده در این کمربند هستند.

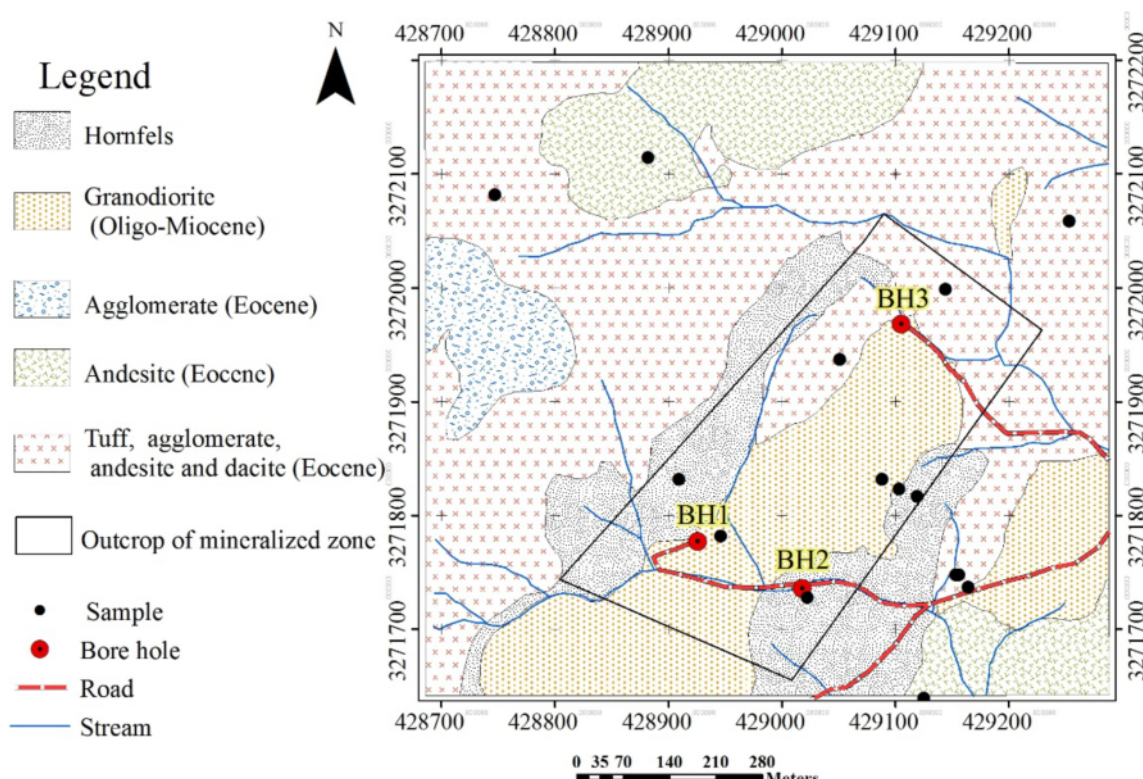
منطقه بلبلی در کمربند دهچ- ساردوئیه قرار دارد. رخداد کانی‌سازی مس در این منطقه در دو موقعیت مجزا (با فاصله تقریبی ۲ کیلومتر) رخ داده که ندیموج [۷] آنها را ذخیره‌های بلبلی ۱ و بلبلی ۲ نامیده است. ذخیره بلبلی ۱ نوع رگه‌ای دارد



شکل ۱ الف: نقشه پهنه‌های زمین‌ساختاری ایران و جایگاه کمربند دهچ- ساردوئیه (کمان ماغمایی سنوزئیک کرمان، KCMA) بر روی کمان آتششانی- نفوذی پهنه ارومیه- دختر (برگرفته از مرجع [۲]). ب: سنگ‌شناسی ساده شده کمربند دهچ- ساردوئیه [۲] که جایگاه ذخیره بلبلی ۲ بر آن نشان داده شده است.

آتشفشاری با میان لایه‌های رسوبی است [۳، ۴ و ۱۰]. مجموعه سنگی یاد شده توسط سنگ‌های آذرین درونی الیگومن-میوسن (دیوریت، کوارتزدیوریت، مونزونیت، کوارتزمونزونیت، گرانوودیوریت و گرانیت) مورد هجوم قرار گرفته که پیامد آن رخداد سیستم‌های گرمابی از نوع رگه‌ای فراگرمایی چون کانسار چهارگنبد و مس پورفیری مانند کانسار تختگنبد است. ذخیره بلبلی ۲ از جمله ذخایر گرمابی برآمده از چنین فعالیت‌های ماقمایی است. سنگ‌های درونگیر این کانی‌سازی شامل توف، جوش آتشفشاری، آندزیت و داسیت به سن ائوسن و گرانوودیوریت پورفیری به سن الیگومن-میوسن هستند (شکل ۲). گرانوودیوریت پورفیری سنگ میزبان اصلی کانی‌سازی در ذخیره بلبلی ۲ است. بر اساس بررسی‌های انجام شده [۱۱، ۱۲]، توده‌های آذرین گرانوودیوریتی ناحیه معدنی چهارگنبد از نوع حدواسط بوده و سرشت آهکی‌قیایی نوع I دارند. سنگ‌های آذرین درونی میزبان ذخیره بلبلی ۲ نیز چنین هستند. سنگ‌های آذرین درونی با چنین طبیعتی در جایگاه قوس‌های آتش‌فشاری ناشی از فرورانش پوسته اقیانوسی به زیر پوسته قاره‌ای تشکیل می‌شوند [۱۳-۱۵].

زمین‌شناسی
کمریند دهچ- ساردوئیه به طور عمده از سه مجموعه سنگ آتش‌فشاری بحر آسمان (ائوسن پیشین- میانی)، رازک (ائوسن میانی- پایانی) و هزار (الیگومن) تشکیل شده است. سنگ‌های آتش‌فشاری مجموعه بحر آسمان (سنگ‌های آذرآواری و جریان گدازهای با ترکیب اسیدی که توسط ردیفهایی از مواد آذرآواری آندزیتی - بازالتی تداوم یافته است) و رازک (سنگ-های آذرین آذرآواری و جریان‌های گدازهای حدواسط و اسیدی) از نوع اشباع از سیلیس و با ترکیب مافیک تا فلسیک با گرایش حدواسط شبه تولثیتی- آهکی‌قیایی هستند [۲]. مجموعه هزار (شامل ماسه سنگ توفی، جوش سنگ، توف، تراکی‌آندزیت، ایگنمبریت و لایه‌های نازک سنگ آهک و جوش آتش‌فشاری) برآمده از فعالیت ماقمایی زبراشباع از سیلیس و دارای فلدسپات‌توئید فراوان با گرایش آهکی‌قیایی است [۲، ۳]. واحدهای سنگی میزبان ذخیره بلبلی ۲ (منطقه معدنی چهارگنبد) در ارتباط با مجموعه زارک تشکیل شده‌اند [۴]. این مجموعه در ناحیه معدنی چهارگنبد شامل آندزیت، بازالت، آندزی- بازالت، تراکی‌آندزیت، ریوداسیت، توف و جوش



شکل ۲ نقشه زمین‌شناسی منطقه ذخیره معدنی بلبلی ۲ (برگرفته از مرجع [۱۰] با اندکی تغییرات).

$^{\circ}\text{C} \pm 0.6$ با ماده استاندارد نتیرات سزیم و طی سرمایش تا دمای $94.3 -$ درجه سانتی‌گراد برابر با $^{\circ}\text{C} \pm 0.2$ با مایع استاندارد هگزان بوده است.

نتایج و بحث دگرسانی

سیال‌های گرمابی عامل رخداد دگرسانی‌های متنوعی در سنگ‌های میزبان (واحدهای توف، جوش آتشفسانی، آندزیت، داسیت و گرانوپلیوریت) رگه- رگچه‌های ذخیره بلبلی ۲ هستند. بر اساس بررسی‌های صحرایی، میکروسکوپی و روابط بین رگه- رگچه‌های کانه‌دار، سه مرحله زمانی نفوذ سیال گرمابی در گسترش پهنه‌های دگرسانی در منطقه این ذخیره تشخیص داده شد. از جمله دگرسانی‌های قابل تشخیص در این ذخیره می‌توان به دگرسانی‌های پروپیلیتی، سیلیسی و فیلیک اشاره کرد. بر اساس بررسی‌های صحرایی و میکروسکوپی، دگرسانی- های پروپیلیتی، سیلیسی و فیلیک مربوط به نفوذ سیال‌های گرمابی در مراحل اول و دوم بوده و با رگه- رگچه‌های کوارتزی- اکسیدی- سولفیدی (مگنتیت + کالکوپلیت) و کوارتزی- سولفیدی- اکسیدی (کالکوپیریت + پیریت + مگنتیت) در ارتباط هستند. دگرسانی کربناتی در ارتباط با مرحله سوم نفوذ سیال‌های گرمابی با خاستگاه بیشتر جوی و رگه- رگچه‌های کربناتی دیده می‌شود.

روش بررسی

این پژوهش در دو بخش صحرایی و آزمایشگاهی انجام شد. بررسی‌های صحرایی شامل نمونه‌برداری از سنگ‌های آذرین درونی و آتش‌فسانی میزبان کانی‌سازی، رگه- رگچه‌های کانی- سازی شده و پهنه‌های دگرسانی به تعداد ۸۰ نمونه (سطحی و عمقی) است. از نمونه‌های برداشت شده، ۴۰ نمونه مناسب برای تهیه ۲۵ مقطع نازک و ۱۵ مقطع صیقلی انتخاب شدند. مقاطع تهیه شده با استفاده از میکروسکوپ نوری (عبوری- بازتابی) زایس مدل Axioplan2 در اداره کل زمین‌شناسی و اکتشافات معدنی جنوب شرق (مرکز کرمان) بررسی شدند. ۹ نمونه از سنگ‌های دگرسان شده برای مطالعه دقیق‌تر پهنه‌های دگرسانی با استفاده از پراش سنج پرتو X (XRD) به مرکز تحقیقات فرآوری مواد معدنی ایران (کرج) ارسال شدند (جدول ۱). ۱۰ نمونه دوبر صیقل از کانی کوارتز همزاد با رگه- رگچه- های کوارتزی- سولفیدی- اکسیدی برای بررسی‌های سنگ- نگاری و ریزدماسنجی تهیه شدند. بر اساس بررسی‌های سنگ- نگاری، سه تراشه مناسب برای تجزیه ریزدماسنجی انتخاب شده و اندازگیری‌های پارامترهای دمایی میانبارهای سیال بوسیله دستگاه گرمایش و سرمایش Linkam ZEISS در آزمایشگاه کانی‌شناسی مرکز تحقیقات فرآوری مواد معدنی ایران انجام شد. واسنجی دستگاه در طی عمل گرمایش تا دمای 414°C برابر با

جدول ۱ نتایج تجزیه پراش پرتو X (XRD) نمونه‌های پهنه دگرسانی ذخیره بلبلی ۲. علائم اختصاری شامل P: پروپیلیتیک، Ph: فیلیک، و Ca: کربناتی شدن.

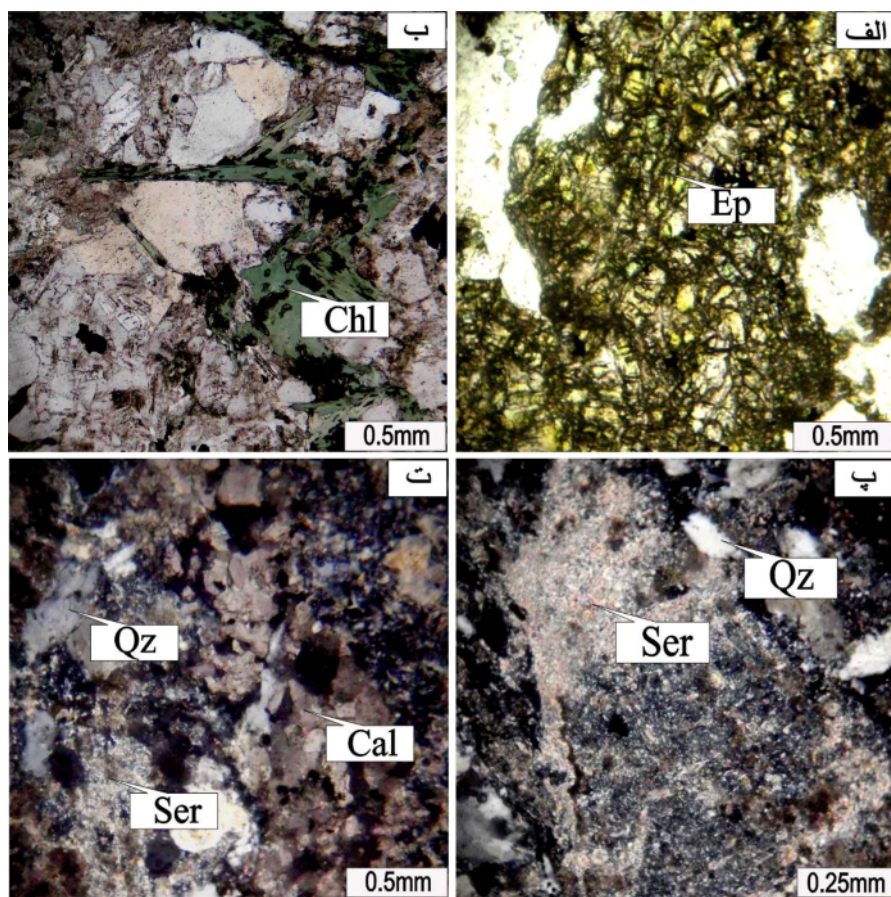
کانی	B2-6 (P)	B2-7 (P)	B2-11 (P)	B2-12 (P)	B2-13 (Ph)	MB2-3 (Ph)	MB2-4 (P)	MB2-6 (Ph)	MB2-15 (Ca)
کوارتز	*	*	*	*	*	*	*	*	*
کلسیت	*	*			*	*	*	*	*
مسکوویت					*	*		*	
اپیدوت			*						
تیتانیت			*						
کلریت	*	*		*		*	*	*	
آلبیت	کم	کم		کم		کم	کم	*	
کائولینیت							*		*
پیریت					*			*	*
سیدریت									*
دولومیت									*
آنکریت									*
دیوبسید		*							
آندرزین	*						*		
هورنبلند	*								
انستاتیت					*				

شدن در ارتباط با رگه-رگچه‌های کربناتی دربردارنده سولفید مربوط به مرحله سوم تزریق سیال‌های گرمابی بوده که از این نظر آشکارا از دگرسانی پروپیلیتی قابل تفکیک است. رخداد رگه-رگچه‌های کربناتی و دگرسانی همراه نشانگر ورود هر چه بیشتر سیال‌های جوی به سیستم گرمابی است.

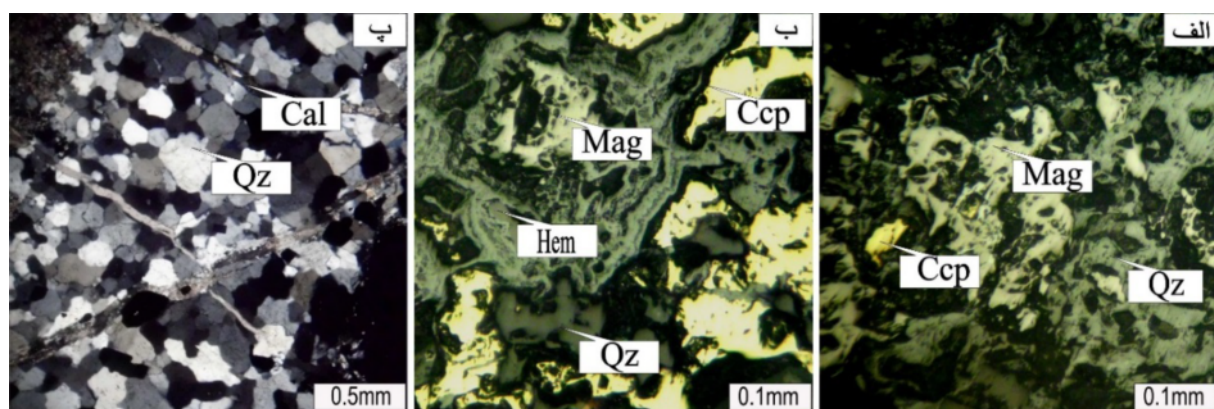
کانه‌سازی

کانه‌سازی در منطقه ذخیره بلبلی ۲ اغلب به صورت درونزad و به طور محدود به صورت برونزad رخ داده است. نفوذ سیال‌های گرمابی مرحله اول با شکل گیری رگه-رگچه‌های کوارتزی-اکسیدی - سولفیدی با بافت دانه‌ای همراه بوده است. در این رگه-رگچه‌ها، کالکوپیریت به طور محدود دیده می‌شود. کانه‌اکسیدی این مرحله مگنتیت است (شکل ۴ الف). تشکیل رگه-رگچه‌های کوارتزی-سولفیدی-اکسیدی با بافت رگه-رگچه‌ای داربستی، انتشاری، دانه‌ای، موزائیکی و قشرگون (شکل ۵) در ارتباط با تزریق سیال‌های گرمابی مرحله دوم است.

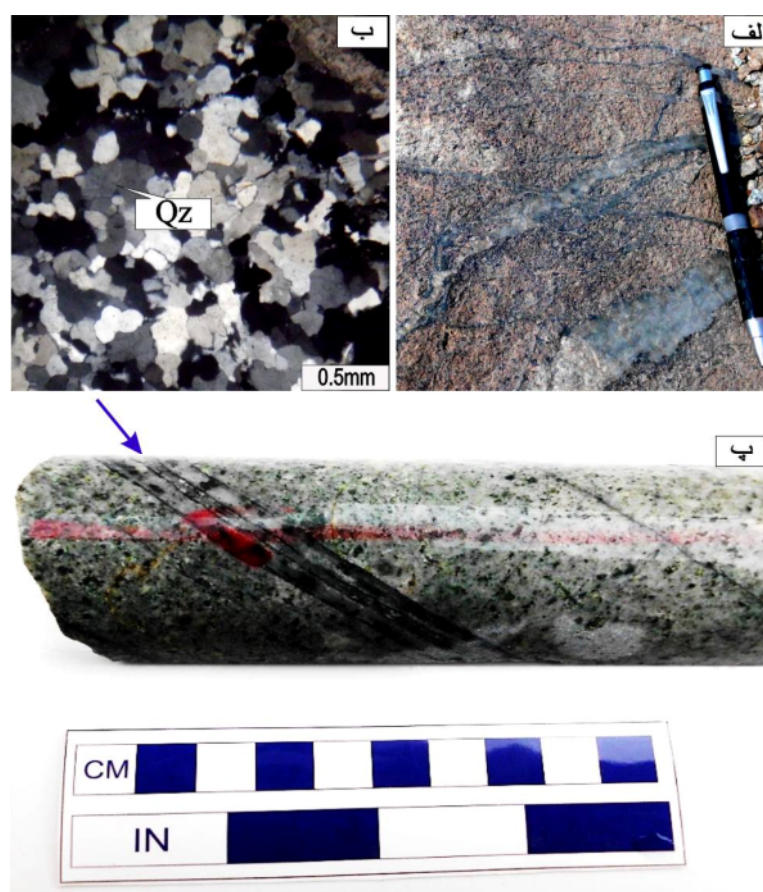
بر اساس بررسی‌های انجام شده در لبه رگه‌های یاد شده، دگرسانی سیلیسی در بخش‌های عمیق‌تر با دور شدن از رگه-رگچه‌ها به ترتیب به دگرسانی فیلیک و سریسیتی و در بخش‌های کم عمق و سطحی به دگرسانی پروپیلیتی (با گسترشی حدود چند صد متر) تغییر می‌کند. بر اساس مشاهدات صحرایی و بررسی‌های انجام شده بر مغزهای حفاری، بیشترین گسترش دگرسانی پروپیلیتی در بخش‌های سطحی و کم عمق توده گرانودیوریتی و واحدهای خروجی در برگیرنده ذخیره است. این دگرسانی ناشی از جانشینی اپیدوت و کلسبیت به جای پلازیوکلاز، و اپیدوت، کلسبیت و کلریت به جای کانه‌های تیره (چون هورنبلند) در سنگ‌های میزبان است (شکل‌های ۳ الف و ب). مهمترین مشخصه دگرسانی سریسیتی جانشینی مسکوویت ریز بلور و کوارتز به جای فلدسپار در سنگ‌های میزبان است (شکل ۳ پ). دگرسانی کربناتی با حضور کانه‌های کلسبیت و دولومیت قابل تشخیص است (شکل ۳ ت). کربناتی



شکل ۳ تصاویر میکروسکوپی نشانگر الف و ب) دگرسانی پروپیلیتی با حضور اپیدوت (Ep) و کلربیت (Chl) در قطبیده صفحه‌ای، نور xpl، پ) دگرسانی فیلیک با حضور کوارتز (Qz) و سریسیت (Ser) در نور قطبیده متقطع، xpl. و ت) کربناتی شدن با حضور کلسبیت (Cal) و تشکیل دگرسانی کربناتی در نور xpl. علائم اختصاری برگرفته از مرجع [۱۶] هستند.



شکل ۴ تصاویر میکروسکوپی نشانگر (الف) همراهی مقادیر اندک کالکوپیریت با مگنتیت در رگچه‌های کوارتزی-اکسیدی-سولفیدی (نور ppp)، (ب) حضور مقادیر مگنتیت با کالکوپیریت در رگه-رگچه‌های کوارتزی-سولفیدی-اکسیدی و (پ: قطع شدن رگه-رگچه‌های کوارتزی توسط رگه-رگچه‌های کربناتی در مراحل پایانی تزریق سیال‌های گرمابی در ذخیره بلبی ۲. علائم اختصاری به کار رفته عبارتند از: Qz: کوارتز، Hem: هماتیت، Cal: کلسیت، Ccp: کالکوپیریت و Mag: مگنتیت.



شکل ۵ انواع بافت‌های رگه-رگچه‌های کوارتزی در ذخیره بلبی ۲: (الف) بافت داربستی، (ب) بافت دانه‌ای و (پ: بافت قشرگون (Qz = کوارتز).

های کربناتی که فرآورده مرحله سوم نفوذ سیال‌ها هستند، سایر رگه-رگچه‌های کانه‌دار را قطع کرده‌اند (شکل ۴ پ). این رگه-رگچه‌ها با دگرسانی کربناتی ناشی از سیال‌های گرمابی مرحله سوم همراهی می‌شوند. کالکوپیریت تنها کانی سولفیدی

بافت‌های مشابهی از چنین رگه-رگچه‌ها در کانسار مس پورفیری تخت‌گنبد (در ۳/۴ کیلومتر شمال شرق ذخیره مورد بررسی) گزارش شده است [۸]. کانه‌زایی این مرحله شامل کالکوپیریت، پیریت و مگنتیت است (شکل ۴ ب). رگه-رگچه-

کوارتز همراه رگه- رگچه‌های کوارتزی- سولفیدی- اکسیدی (بیشتر مربوط به مرحله دوم کانی‌سازی) برای بررسی میانبارهای سیال مناسب هستند. رگچه‌های تشکیل شده در مرحله اول کانی‌سازی به علت ضخامت کم برای بررسی میانبارهای سیال مناسب نیستند. با توجه به بررسی‌های سنگ- نگاری انجام شده، ۳ نمونه دوپر صیقل شرایط مناسب برای ریزدماسنجی را دارا هستند؛ از این رو تعداد ۶۸ میانبار سیال از آنها ریزدماسنجی شدند. بررسی‌های سنگنگاری به منظور تعیین انواع میانبارها (اولیه و ثانویه)، رده‌بندی زیشی، تهیه تصاویر مناسب و بررسی ریزدماسنجی انجام شد.

سنگنگاری میانبارهای سیال: بررسی‌های انجام شده نشان می‌دهند که میانبارهای موجود در بلورهای کوارتز همزاد با رگه- رگچه‌های کانه‌دار از نوع اولیه و ثانویه هستند. اندازه میانبارهای اولیه از ۸ تا ۱۵ میکرون متغیر بوده و پدیده باریک- شدگی در برخی از آنها قابل تشخیص است (شکل ۷ الف). اندازه بزرگ، توزیع ناهمگن، نسبت‌های فازی مشابه [۱۷، ۱۸] و نبود آرایه خطی وجه تشخیص میانبارهای اولیه از ثانویه بودند. میانبارهای ثانویه با توجه به آرایه‌های خطی و قرارگیری در راستای شکستگی‌ها و اندازه کوچک [۱۷] تشخیص داده شدند (شکل ۷ ب). بر اساس مقدار هر فاز، میانبارهای سیال اولیه در ذخیره بلبلی ۲ به چهار نوع قابل تفکیک هستند:

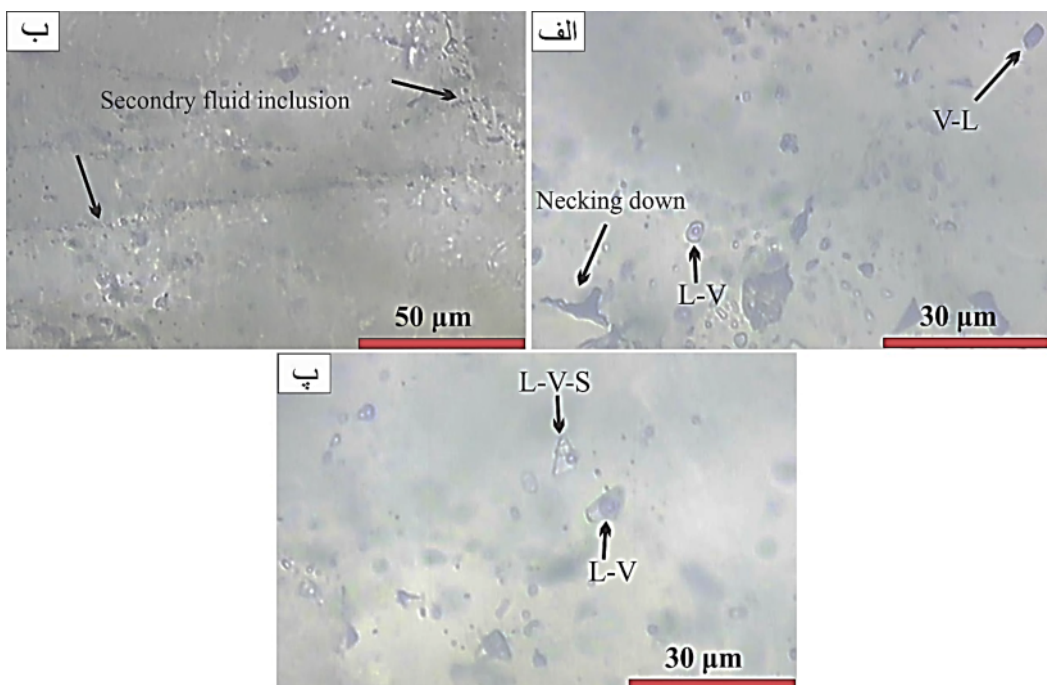
کمیاب این مرحله از کانی‌سازی است. تشکیل سیدریت از ویژگی‌های این مرحله از کانی‌سازی محسوب می‌شود که بیانگر گذر سیال به سمت شرایط قلیابی است. بر اساس بررسی‌های صحرایی و آرمایشگاهی، کانی‌سازی مس در ارتباط با مراحل اول و دوم کانی‌سازی در ذخیره بلبلی ۲ رخ داده است. بررسی‌ها نشان می‌دهند که ضخامت رگه- رگچه‌های کوارتزی و کربناتی از یک میلی‌متر (شکل ۴ پ) تا چند سانتی‌متر (شکل ۵ پ) متغیر هستند. در بخش‌های سطحی در شرایط برونزاد، کانی- های سولفیدی گرمابی توسط کانی‌های ثانویه برونزاد جایگزین شده‌اند. از جمله کانی‌های ثانویه می‌توان به هماتیت و گوتیت با بافت جانشینی لبه‌ای اشاره کرد (شکل ۴ ب). سولفیدهای اولیه اغلب به صورت جزایری توسط اکسیدها و هیدرواکسیدهای ثانویه آهن احاطه شده‌اند (شکل ۴ ب). کانی- های سولفیدی برونزاد چون بورنیت به صورت محدود دیده می‌شوند. در منطقه ذخیره مورد بررسی، پهنه برونزاد گسترش چندانی ندارد. در بخش جنوب‌شرقی ذخیره، در نزدیکی یک شکستگی با روند شمال‌شرق- جنوب‌غرب، یک پهنه اکسیدی- کربناتی دیده می‌شود که به احتمال بسیار برآمده از رخداد دگرسانی گرمابی کربناتی (کلسیت، دولومیت، سیدریت و آنکریت) و آثار بعدی فرآیندهای برونزاد ثانویه است. شکل ۶ همبزایی کانی‌ای ذخیره بلبلی ۲ را نشان می‌دهد.

بررسی میانبارهای سیال

بررسی‌های میکروسکوپی بر ۱۰ نمونه نشان می‌دهند که باطله

کانی	سنگ میزان	کانی‌سازی درونزاد			کانی‌سازی برونزاد
		مرحله اول	مرحله دوم	مرحله سوم	
پلازیولکلز					
هورنبلند					
بیوتیت					
کوارتز					
سریسیت					
اپیدوت					
کلریت					
مگنتیت					
کالکوپیریت					
پیریت					
کلسیت					
دولومیت					
سیدریت					
آنکریت					
بورنیت					
مالاکیت-آزوریت					
هماتیت					
گوتیت					

شکل ۶ توالی همبزایی کانی‌ای (کانسنگ و باطله) برای ذخیره بلبلی ۲.



شکل ۷ انواع میانبارهای سیال در رگه-رگچه‌های ذخیره بلبلی ۲. الف: میانبارهای L-V و L-V-S، ب) میانبارهای ثانویه ریز با روندهای خطی و پ) میانبارهای نوع L-V-S همزاد با نوع L-V و L-V-S.

درصد معادل نمک طعام هستند (شکل ۸ ب). با توجه به جدول ۲، گستره دمایی انحلال هالیت (T_s) برای میانبارهای نوع L-V-S در گستره ۲۱۳ تا ۴۲۵ درجه سانتی‌گراد بوده که معادل شوری‌هایی در گستره ۳۲/۱۱-۵۰ درصد معادل نمک طعام هستند (شکل ۸ ب). ذوب هالیت در اغلب میانبارهای L-V-S پس از همگن شدن فاز مایع و گاز روی داده که بیانگر فوق اشباع بودن سیال کانی‌ساز در زمان به دام افتادن است. با توجه به گستره دمایی، Te ، (۳۰- تا ۴۰ درجه سانتی‌گراد) می‌توان چنین گفت که سیال‌های کانه‌ساز افزون بر فاز $NaCl$ ، $NaCl$ و $MgCl_2$ و $FeCl_2$ نیز بوده‌اند.

در مرحله گرمایش، تقریباً همه میانبارهای دوفازی غنی از مایع (L-V) به فاز مایع همگن شده و دمای‌های همگن شدگی (Th) آنها در گستره ۴۲۷-۲۰۸ درجه سانتی‌گراد قرار دارد [شکل ۸ الف]. از میانبارهای نوع سه فازی هالیت‌دار (L-V-S)، چهار مورد از آنها با ناپدید شدن فاز جامد (هالیت) همگن شدند ($Th_{(L-V)} < T_{S(NaCl)}$) و تنها یکی از آنها با ناپدید شدن فاز بخار همگن گردید ($Th_{(L-V)} > T_{S(NaCl)}$). بر اساس مقادیر $T_{S(NaCl)}$ به دست آمده، شوری‌های تعیین شده (براساس مرجع [۱۹]) برای این نوع میانبارها در گستره ۵۰-۳۲ درصد قرار دارد (شکل ۸ الف).

۱- میانبار سیال دو فازی غنی از مایع (نوع L-V) (شکل‌های الف و پ): این میانبارها اغلب درجه پرشدگی ۷۰ تا ۸۰ درصد و گاهی بیش از ۸۰ درصد را نشان می‌دهند.

۲- میانبار سیال دو فازی غنی از گاز (نوع V-L) (شکل ۷ الف): در این میانبارها، حباب گاز بیش از ۸۰ الی ۹۰ درصد فضای موجود را اشغال کرده است. به علت اشغال شدن حجم قابل توجهی از این میانبارها توسط فاز گازی، دمای همگنی در این نوع میانبارها تعیین نشد.

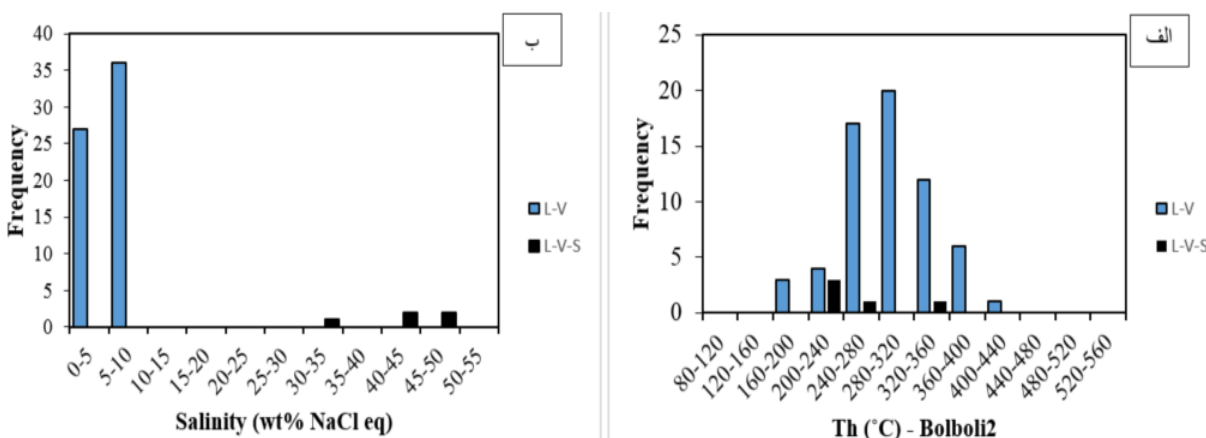
۳- میانبارهای سیال سه فازی هالیت‌دار (نوع L-V-S) (شکل ۷ پ): این نوع میانبارها به واسطه حضور سه فاز مایع، گاز و جامد مشخص می‌شوند. درجه پرشدگی مربوط به این میانبارها اغلب ۷۰ الی ۸۰ درصد است. فاز نوزاد جامد همراه با این نوع میانبارها هالیت است.

۴- میانبارهای سیال تک فاز گازی (V): این میانبارها سیاه رنگ هستند و به همراه میانبارهای نوع L-V-S و V-L در بلور میزبان حضور دارند. حباب گاز بیش از ۹۰ فضای موجود را اشغال کرده است.

بررسی‌های ریزدماسنجی: بررسی‌های ریزدماسنجی در دو مرحله سرمایش و گرمایش انجام شد. در مرحله سرمایش، نتایج بدست آمده نشان می‌دهند که آخرین دمای ذوب یخ (T_{m ice}) برای میانبارهای L-V در گستره ۰/۵-۰/۰ درجه سانتی‌گراد بوده که معادل با شوری‌های در گستره ۹/۶-۶/۰

جدول ۲ نتایج ریزدماسنجی میانبارهای سیال در رگه-رگچه‌های کوارتزی ذخیره بلبلی ۲.

نمونه	کانی	نوع میانبار	Th Range (°C)	Tm _(NaCl) range (°C)	Te (°C)	Tm _{ice} (°C)	Salinity (wt% NaCl Eq)
MB2-15	کوارتز	اولیه	L-V (n = ۲۳)	۲۰۸-۳۴۵	-	-۰,۵ تا -۶	۹,۴ تا ۰,۹۹
			L-V-S (n = ۴)	۳۱۵-۴۰۰	۲۱۲-۴۲۵	-۳۰ تا -۴۰	۵۰ تا ۳۲,۱۱
MB2-14	کوارتز	اولیه	L-V (n = ۲۳)	(n = ۲۳) ۲۱۵-۴۲۷	-	-۰,۸ تا -۵,۵	۸,۷ تا ۱,۱۹
			L-V-S (n = ۱)	۲۳۰	۴۱۰	-	۴۸
MB2-7	کوارتز	اولیه	L-V (n = ۱۷)	۱۹۰-۴۰۰	-	-۳۰ تا -۴۰	۶,۰۲ تا ۰,۶



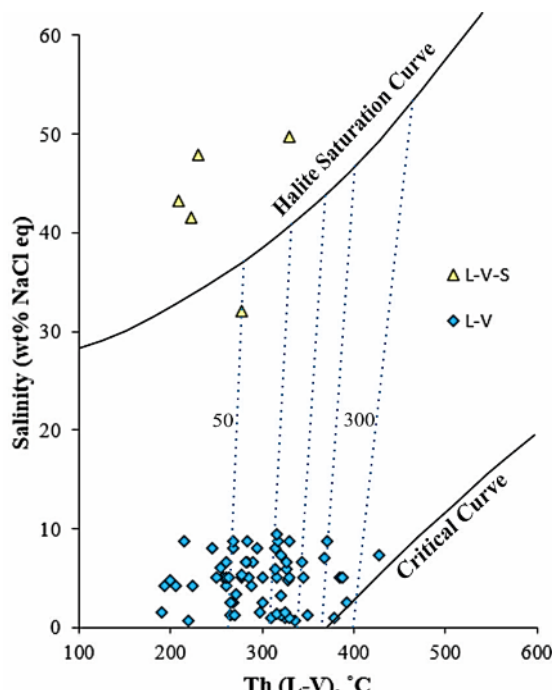
شکل ۸ نمودار ستونی توزیع فراوانی (الف) دمای همگنی، و (ب) شوری در رگه-رگچه‌های کوارتزی-سولفیدی-اکسیدی ذخیره بلبلی ۲.

شدن، از نمودار شوری نسبت به دمای همگنی (شکل ۹) استفاده شد. برپایه این نمودار و شکل ۱۰، نقاط مربوط به یافته‌های میانبارهای سیال مورد بررسی روندی مشابه پدیده جوشش، سرد شدن ساده و آمیختگی با سیال‌های دارای دما و شوری پائین‌تر دارند. این روندهای تکاملی در سیال‌های کانه‌ساز می‌توانند تا حدی مشابه شاخص‌های میانبارهای سیال ذخایر مس پورفیری باشند [۲۰، ۲۱]. یافته‌های مربوط به میانبارهای مورد بررسی تا حدی مشابه با یافته‌های ریزدماسنجی گزارش شده برای رگچه‌های کوارتزی کانه‌دار ذخیره مس پورفیری علی‌جواد (استان آذربایجان شرقی) در کمربند مس پورفیری ارسباران [۲۱]، رگچه‌های کوارتزی کانسار سونگون اهر (استان آذربایجان شرقی) [۲۲]، رگه-رگچه‌های کوارتزی-سولفیدی دربردارنده Cu-Mo-Au در ناحیه قره‌چیلر (استان آذربایجان شرقی) [۱۸] و کانسار مس پورفیری تخت‌گنبد سیرجان (استان کرمان) [۸] هستند. تفاوت عمده ذخیره بلبلی ۲ با ذخایر یاد شده در این است که دگرسانی‌های همراه رگه-رگچه‌های مورد بررسی بیشتر از نوع سریسیتی و پروپیلیتی هستند. چنین ویژگی‌های مشابهی از

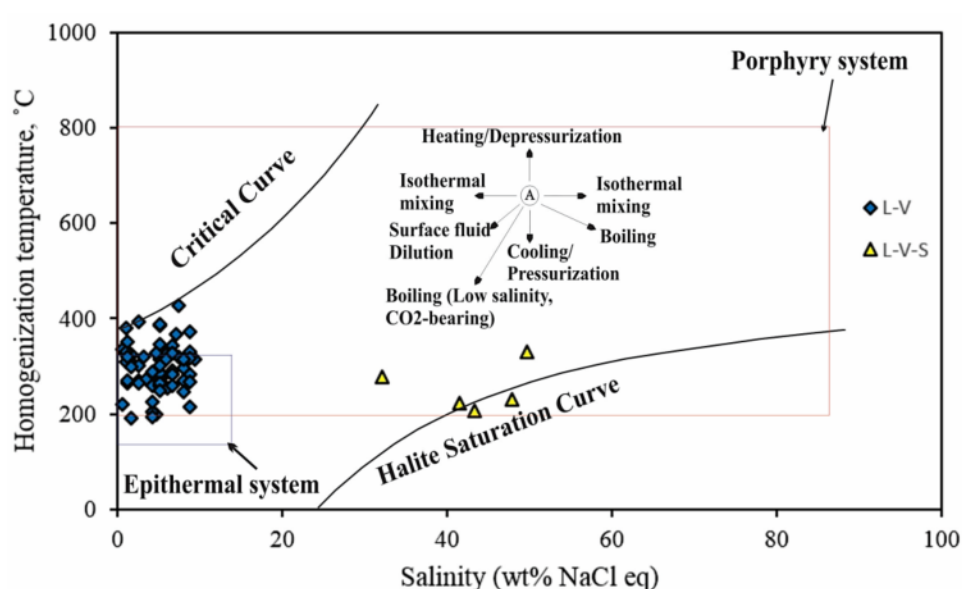
بر اساس یافته‌های ریزدماسنجی، دو نوع از میانبارهای مورد بررسی (یعنی انواع L-V-S و L-V) نماینده دو جمعیت متفاوت را از نظر دمای همگن شدگی و شوری هستند. در واقع، می‌توان چنین گفت که میانبارهای سه فازی (L-V-S) که شوری و دمای بالایی را نشان می‌دهند، در مرحله‌ای از روند تکاملی سیال‌های کانه‌دار به تله افتادند که این سیال‌ها دچار جوشش شده بودند. حضور میانبارهای دو فازی L-V و تک فازی گازی (V) کنار آنها خود می‌تواند این امر را تأیید کند. در این مرحله، شوری سیال‌های کانه‌ساز که به احتمال بسیار دارای خاستگاه ماقمایی با شوری اولیه حدود ۵٪ هستند در اثر جوشش به بیش از ۴۰٪ افزایش یافته است [۲۰]. از طرف دیگر، افزون بر میانبارهای دو فازی با دمای همگنی بالا، وجود میانبارهای دو فازی غنی از مایع (L-V) با شوری و دمای همگن شدگی به نسبت پائین می‌تواند بیانگر مرحله بعدی کانه زایی باشد که طی آن، سیال‌های کانه ساز به احتمال بسیار سرد شدگی معمول و مخلوط شدگی با آبهای زیرزمینی (با دما و شوری پائین) را تجربه کرده‌اند. برای مشاهده روند تکاملی سیال‌های کانه‌دار و تعیین فشار در زمان محبوس

ناهمگن بلورهای بسیار ریز هالیت به همراه سیال در حال جوشش و اشباع از NaCl باشد [۲۳]. با توجه به شوری میانبارهای سیال مورد بررسی می‌توان گفت که به احتمال بسیار کمپلکس‌های کلریدی عامل مهم و اصلی انتقال فلزها در سیال‌های گرمابی کانی‌ساز بوده‌اند.

رگه‌های همراه با دگرسانی‌های سریسیتی-سیلیسی (فیلی) و پروپیلیتی برای ذخایر مس پورفیری گزارش شده است [۲۳]. بر اساس نمودار دو متغیره شوری نسبت به دمای همگنی [۲۴، ۲۵]، تعدادی از میانبارهای سه فازی شامل فاز جامد هالیت در بالای منحنی اشباع از نمک واقع شده‌اند (شکل‌های ۹ و ۱۰) که ممکن است در اثر به دام افتادن



شکل ۹ الگوی توزیع مقدار شوری نسبت به دمای همگنی اندازه‌گیری شده برای میانبارهای سیال مورد بررسی در ذخیره بلبی ۲ در مقایسه با منحنی اشباع از نمک و منحنی بحرانی (برگرفته از [۲۳]). خطوط نقطه چین میان فشار بخار سیال‌ها حاوی NaCl در دماها و شوری‌های مختلف می‌باشد [۲۴].



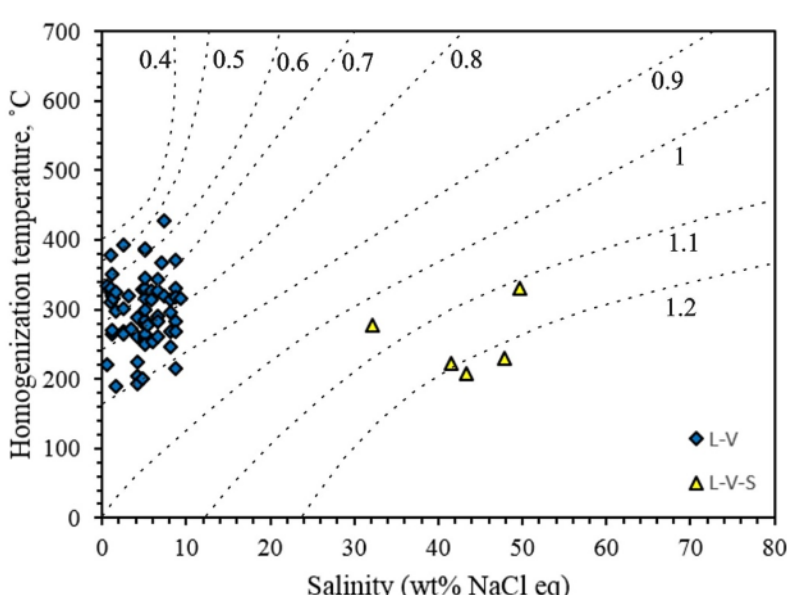
شکل ۱۰ توزیع میانبارهای سیال ذخیره بلبی ۲ در نمودار دو متغیره دمای همگنی در برابر شوری [۲۰، ۲۶].

برداشت

- ۱- کانی‌سازی درونزاد (کالکوپیریت، پیریت و مگنتیت) و برونزاد (هماتیت، گوتیت، بورنیت، مالاکیت و آزوریت) در ذخیره بلبلی ۲ (جنوب غرب شهر کرمان) درون گرانودیوریت‌های الیگو سن-میوسن و واحدهای توفی، جوش آتشفسانی، آندزیتی و داسیتی وابسته به ائوسن رخ داده است.
- ۲- شواهد صحرایی و مشاهدات میکروسکوپی بیانگر گسترش کانی‌سازی مس در یک سامانه رگه- رگچه‌ای با بافت‌های داربستی، قشرگون، دانه‌ای و موzaئیکی است.
- ۳- شواهدی چون گسترش بافت رگه- رگچه‌ای داربستی، حضور دگرسانی فیلیک، حضور میانبارهای سیال غنی از گاز، غنی از مایع و غنی از مایع شامل فاز جامد به صورت همزاد، و شوری بالای برخی از میانبارهای سیال مورد بررسی نشان می-دهند که سیال‌های گرمابی در ذخیره بلبلی ۲ ماهیت ماقمایی وجودی دارند.
- ۴- بررسی میانبارهای سیال بیانگر رخدادهای پدیده جوشش، آمیختگی، و سردشدنگی معمول به عنوان مهمترین عوامل اثر گذار طی گسترش رگه- رگچه‌های کانه‌دار در ذخیره بلبلی ۲ است. با توجه به شوری بالای برخی از میانبارهای سیال مورد بررسی، کمپلکس‌های کلریدی مهمترین عامل انتقال فلزها در سیال‌های مسؤول کانی‌ساز بوده‌اند.
- ۵- بر اساس این پژوهش، ذخیره بلبلی ۲ از نظر سازوکار تشکیل، گسترش و روند تکامل بیشترین شباهت را به سیستم‌های گرمابی مس پورفیری دارد.

برآورد عمق، فشار و چگالی میانبارهای سیال

وقتی در یک سیال گرمابی کانی‌ساز رخداد جوشش یکی از عوامل مؤثر در ته نشست فلزات باشد، می‌توان دمای همگنی را معادل دمای به دام افتادن در نظر گرفت و دیگر نیاز به تصحیح فشاری نیست [۱۷، ۲۶]. بر اساس نمودار دو متغیره دمای همگن شدن نسبت به شوری (شکل ۹)، می‌توان گفت که سیال‌های کانه‌ساز در ذخیره بلبلی ۲ در گستره دمایی حدود ۳۳۰-۳۸۰ درجه سانتی‌گراد دچار جوشش نشده‌اند و به طور تقریبی فشارهای همه جانبی کمتر از ۲۵۰ بار را تجربه می-کرده‌اند که معادل اعمقی حدود یک کیلومتر است. در واقع، سیال‌های کانه‌ساز در دماهای حدود ۳۲۰ درجه سانتی‌گراد پدیده جوشش را تجربه کرده‌اند که نتیجه آن به تله افتادن سیال‌هایی با شوری بالا بوده است. در این حالت، این سیال‌ها فشار هیدرواستاتیکی حدود ۱۰۰ بار را (شکل ۹ را ببینید) تجربه می‌کرده‌اند که آن هم می‌تواند معادل عمقی حدود یک کیلومتر پائین‌تر از سطح ایستایی سفره آبهای زیرزمینی طی کانی‌سازی باشد. این عمق کانه‌زایی در ذخیره بلبلی ۲ می‌تواند مشابه بسیاری از ذخایر مس پورفیری در جهان باشد [۲۵]. همچنان، بر اساس نمودار دو متغیره شوری نسبت به دمای همگن شدن (شکل ۱۱) [۲۰]، چگالی سیال‌های مسؤول کانی‌سازی در ذخیره بلبلی ۲ در گستره ۰/۵ تا ۱/۲ تغییر می‌کند. چگالی‌های حدود ۱/۲ مربوط به میانبارهای سیال سه فازی دربردارنده بلورهای نوزاد هالیت هستند.



شکل ۱۱ توزیع فراوانی داده‌های میانبارهای سیال رگه- رگچه‌های کانی‌زایی شده ذخیره بلبلی ۲ در نمودار دو متغیره دمای همگنی در برابر شوری همراه با تغییرات چگالی (خطوط نقطه چین) [۲۶].

- properties of the Granitoid Complex of the Chahar-Gonbad, Southeast Iran”, Open Journal of Geology 7 (2017) 847-858.*
- [13] Moeinvaziri H., Ahmadi, A., “*Petrology and petrography of igneous rocks*”, Publications of Teacher Training University of Tehran (2011) 1-547 (in Persian).
- [14] Ishihara S., “*The Granitoid Series and Mineralization*”, Economic Geology, 75Th Anniversary Volume (1981) 458-484.
- [15] Shahabpour J., “*Economic Geology*”, Publications of Shahid Bahonar University of the Kerman (2005) 1-544 (in Persian).
- [16] Whitney D. W., Evans B. W., “*Abbreviations for names of rock forming minerals*”, American Mineralogist 95 (2010) 185-187.
- [17] Shaperd T. J., Rankin A. H., Alderton D. H. M., “*A practical guide to fluid inclusion studies*”, Blackie, Glasgow (1985) 1-239.
- [18] Simmonds V., Moazzen M., “*Fluid inclusion studies on Cu-Mo-Au bearing quartz-sulfide veins and veinlets in Qarachilar area, Qaradagh Pluton (NW Iran)*”, Periodico di Mineralogia 85 (2016) 261-276.
- [19] Bodnar R. J., “*Revised equation and table for determining the freezing point depression of H₂O-NaCl soulations*”, Geochimica et Cosmochimica Acta 57 (1993) 683-684.
- [20] Wilkinson J. J., “*Fluid inclusion in hydrothermal ore deposits*”, Lithos 55 (2001) 229-272.
- [21] Hajalilou B., Aghazadeh M., “*Fluid inclusion studies on quartz veinlets at the Ali Javad porphyry copper-gold deposit, Arasbaran, Northwestern Iran*”, Journal of Geoscience and Environment Protection 4 (2016) 80-91.
- [22] Calagari A. A., “*Fluid inclusion studies in quartz veinlets in the porphyry copper deposit at Sungun, East-Azardaijan, Iran*”, Journal of Asian Earth Sciences 23 (2004) 179-189.
- [23] Bodnar R. J., Lecumberriii Sanchez P., Moncada D., Steele-Maclnnis M., “*Fluid inclusion in hydrothermal ore deposits*”, Treatise on Geochemistry, Second Edition 13 (2014) 119-142.
- [24] Ahmad S. N., Rose A. W., “*Fluid inclusion in porphyry and skarn ore at New Mexico*”, Economic Geology 75 (1980) 229-250.
- [25] Roedder E., “*Fluid inclusion*”, Mineralogy Society of America, Review in mineralogy 12 (1984) 1-644.
- [26] Roedder E., Bodnar R. J., “*Geologic pressure determinations from fluid inclusions studies*”, Earth and Planetary Science Letters 8 (1980) 263-301.

قدرتانی

نگارندگان مقاله از حمایت‌های مالی معاونت پژوهشی دانشگاه ارومیه برخودار بوده‌اند که بدین وسیله نهایت تشکر خود را از آنان اعلام می‌دارند. نگارندگان، همچنین از نظرات و پیشنهادات سازنده داوران محترم مجله سپاسگزاری می‌نمایند.

مراجع

- [1] Ghorbani M., “*The economic Geology in Iran: Mineral Deposits and Natural Resources*”, Springer Science Business Media, Dordrecht (2013) 1-581.
- [2] Shafiei B., “*Two distinct occurrences in Palaeogene magmatic of Cenozoic magmatic arc of the Kerman: Geochemical characteristics and rock-forming processes*”, Journal of Sciences, University of Tehran 36 (2010) 137-156 (in Persian).
- [3] Dimitrijevic M. D., “*1:100000 geological map of the Chahar Gonbad*”, Geological Survey of Iran (1973).
- [4] Atapour H., Aftabi A., “*Geochemistry and metallogeny of calc-alkaline, shoshonitic and adakitic igneous rocks associated with porphyry Cu-Mo and vein type deposits of Dehaj-Sardueh volcano-plutonic belt, Kerman*”, Geosciences 18 (2009) 161-172 (in Persian).
- [5] Atapour H., “*Petrography and geochemistry of shoshonites of Ghode-e-Biabani area of the Bardsir*”, MSc Thesis, University of Shahid Bahonar, Kerman, Iran (1993) 1-294 (in Persian).
- [6] Aftabi A., Atapour H., “*Regional aspects of shoshonitic volcanism in Iran*”, Episodes 23 (2000) 119-125.
- [7] Nedimovic R., “*Exploration for ore deposits in Kerman Region*”, Geological Survey of Iran, Report No.53 (1973) 274p.
- [8] Hosseini, M., Ghaderi, M., Alirezaei S., “*Types of vein-veinlet systems and their relationship with mineralization in the Takht-e-Gonbad ore deposit, northeast of Sirjan*”, 15th Symposium of Iranian Geological Association, Teacher Training University of Tehran (2011).
- [9] Chahar-Ghonbad Mining Company, “*Geology and Semi-detailed explorations of the Bolboli ore deposit*”, (2010-2013) 1-200 (in Persian).
- [10] Khan-Nazer N. H., “*Geological map of the Chahar-Ghonbad (1:100000 scale)*”, Geological Survey of Iran (1994).
- [11] Fazlnia A., “*Petrography and petrology of the Chahar-Ghonbad intrusive masses*”, MSc Thesis, University of Shahid Bahonar, Kerman, Iran (2000) 1-180 (in Persian).
- [12] Anssary A. H., Sheikh Zakariaii S. J., Dargahi S., Arvin M., “*Petrology and Geochemical*